

STABILITÀ INTERNA

Dato un sistema Σ in forma di stato

$$\Sigma \begin{cases} \dot{x} = Ax + Bu \\ y = Cx + Du \end{cases}$$

questa ha funzione di trasferimento

$$W(s) = C(sI - A)^{-1}B + D$$

Det 1) Σ è internamente stabile se A è as. stabile

2) Σ è esternamente stabile se $W(s)$ è BIBO stabile

Tecniche

Se Σ è regolabile e osservabile allora

Stabilità intesa \Leftrightarrow stabilità esterna.

STABILITÀ INTERNA DI INTERCONNESSIONI

1) Parallelo: Supponiamo che Σ_1, Σ_2 non sono oss.

$$\Sigma \begin{bmatrix} \dot{x}_1 \\ \dot{x}_2 \end{bmatrix} = \begin{bmatrix} A_1 & 0 \\ 0 & A_2 \end{bmatrix} \begin{bmatrix} x_1 \\ x_2 \end{bmatrix} + \begin{bmatrix} B_1 \\ B_2 \end{bmatrix} u \quad \xrightarrow{\text{u}} \quad \begin{array}{c} \Sigma_1 \\ \Sigma_2 \end{array}$$

$$y = [c_1 \ c_2] x + (D_1 + D_2) u$$

Se offriamo 2 ingressi d_1, d_2 e 2 uscite z_1, z_2

$$\Sigma \begin{bmatrix} \dot{x}_1 \\ \dot{x}_2 \end{bmatrix} = \begin{bmatrix} A_1 & 0 \\ 0 & A_2 \end{bmatrix} x + \begin{bmatrix} B_1 & 0 \\ 0 & B_2 \end{bmatrix} \begin{bmatrix} d_1 \\ d_2 \end{bmatrix}$$

$$\Sigma'' \begin{bmatrix} z_1 \\ z_2 \end{bmatrix} = \begin{bmatrix} c_1 & 0 \\ 0 & c_2 \end{bmatrix} x + \begin{bmatrix} D_1 & 0 \\ 0 & D_2 \end{bmatrix} \begin{bmatrix} d_1 \\ d_2 \end{bmatrix}$$

$\Sigma_{II} \stackrel{\text{Tess}}{\sim} \text{non oss} \Leftrightarrow \Sigma_1, \Sigma_2 \text{ non oss}$

$$W_{II}(s) = \begin{bmatrix} W_1(s) & 0 \\ 0 & W_2(s) \end{bmatrix}$$

Possiamo concludere che

$$\Sigma_{II} \text{ internamente stabile} \Leftrightarrow \Sigma_1, \Sigma_2 \text{ esternamente stabili}$$

Nota che in avendo queste equivalenze otteniamo obiettivi
affinare ingressi e uscite fettizie

Esempio: non è vero l'equivalenza se
gli ingressi e uscite fanno

$$\Sigma_1 \quad \dot{x}_1 = x_1 + u_1 \quad y_1 = x_1$$

$$\Sigma_2 \quad \dot{x}_2 = x_2 + u_2 \quad y_2 = -x_2$$

$$\Sigma \begin{bmatrix} \dot{x}_1 \\ \dot{x}_2 \end{bmatrix} = \begin{bmatrix} 1 & 0 \\ 0 & 1 \end{bmatrix} \begin{bmatrix} x_1 \\ x_2 \end{bmatrix} + \begin{bmatrix} 1 \\ 1 \end{bmatrix} u$$

Sistema parallelo
senza ingredi e uscite
fittizie

$$y = [1 \ -1] \begin{bmatrix} x_1 \\ x_2 \end{bmatrix}$$

$$W(s) = W_1(s) + W_2(s) = \frac{1}{s-1} - \frac{1}{s+1} = 0$$

Σ è asintoticamente stabile ma non
uniformemente stabile e causa di
cancellovanzi gli ingressi semplici instabili

2) Serie: Supponiamo che Σ_1, Σ_2 regg. + ass.

$$\Sigma \begin{bmatrix} \dot{x}_1 \\ \dot{x}_2 \end{bmatrix} = \begin{bmatrix} A_1 & 0 \\ B_2 C_1 & A_2 \end{bmatrix} \begin{bmatrix} x_1 \\ x_2 \end{bmatrix} + \begin{bmatrix} B_1 \\ B_2 D_1 \end{bmatrix} u \xrightarrow{u} \boxed{\Sigma_1} \xrightarrow{z} \boxed{\Sigma_2} \xrightarrow{y}$$

$$y = [D_2 C_1 \ C_2] \begin{bmatrix} x_1 \\ x_2 \end{bmatrix} + D_2 D_1 u$$

Se effettuiamo l'impresa di una usata z

$$\Sigma_s \begin{bmatrix} \dot{x}_1 \\ \dot{x}_2 \end{bmatrix} = \begin{bmatrix} A_1 & 0 \\ B_2 C_1 & A_2 \end{bmatrix} \begin{bmatrix} x_1 \\ x_2 \end{bmatrix} + \begin{bmatrix} B_1 & 0 \\ \hline B_2 D_1 & B_2 \end{bmatrix} \begin{bmatrix} u \\ d \end{bmatrix} \xrightarrow{u} \boxed{\Sigma_1} \xrightarrow{d} \boxed{\Sigma_2} \xrightarrow{y}$$

$$\begin{bmatrix} z \\ y \end{bmatrix} = \begin{bmatrix} C_1 & 0 \\ D_2 C_1 & C_2 \end{bmatrix} \begin{bmatrix} x_1 \\ x_2 \end{bmatrix} + \begin{bmatrix} D_1 & 0 \\ D_1 D_2 & D_2 \end{bmatrix} \begin{bmatrix} u \\ d \end{bmatrix}$$

Tear

$$\Sigma_s \text{ regg. + ass.} \Leftrightarrow \Sigma_1, \Sigma_2 \text{ regg. + ass.}$$

$$W_s(s) = \begin{bmatrix} W_{12}(s) & W_{12}(s) \\ W_{22}(s) & W_{22}(s) \end{bmatrix} = \begin{bmatrix} W_1(s) & 0 \\ \hline W_2(s) W_1(s) & W_2(s) \end{bmatrix}$$

Poniamo conclusione: Σ_s è internamente stabile $\Leftrightarrow \Sigma_s$ è esternamente stabile

Nota che per avere queste equivalenze abbiamo dovuto effettuare impresa e usata fittive

Esempio: non è vero l'equivalenza senza informazioni private

$$\Sigma_1 = \begin{cases} \dot{x}_1 = x_1 + u_1 \\ y_1 = x_1 \end{cases} \quad W_1(s) = \frac{1}{s-1}$$

$$\Sigma_2 \quad \begin{cases} \dot{x}_2 = -x_2 + u_2 \\ y_2 = -2x_2 + u_2 \end{cases} \quad W_2(s) = \frac{s-1}{s+1}$$

$$\Sigma = \begin{cases} \begin{bmatrix} \dot{x}_1 \\ \dot{x}_2 \end{bmatrix} = \begin{bmatrix} 1 & 0 \\ 1 & -1 \end{bmatrix} \begin{bmatrix} x_1 \\ x_2 \end{bmatrix} + \begin{bmatrix} 1 \\ 0 \end{bmatrix} u \\ y = \begin{bmatrix} 1 & -2 \end{bmatrix} \begin{bmatrix} x_1 \\ x_2 \end{bmatrix} \end{cases}$$

Σ internamente instabile

$$W_2(s) = \frac{1}{s-1} \frac{s-1}{s+1} = \frac{1}{s+1} \quad \text{esternamente stabile}$$

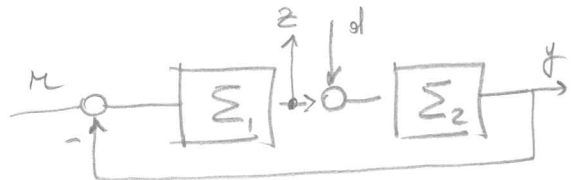
Questa incongruenza è dovuta a cancellazioni zero/polo instabile

3) Retrasone: Supponiamo che Σ_1, Σ_2 siano reg + oss.

$$\sum \left\{ \begin{bmatrix} \dot{x}_1 \\ \dot{x}_2 \end{bmatrix} = \begin{bmatrix} A_1 - B_1 D_2 C_1 & -B_1 C_2 \\ B_2 C_1 & A_2 \end{bmatrix} \begin{bmatrix} x_1 \\ x_2 \end{bmatrix} + \begin{bmatrix} B_1 \\ 0 \end{bmatrix} r \right. \quad \left. \begin{array}{c} r \\ -o \end{array} \rightarrow \boxed{\Sigma_1} \rightarrow \boxed{\Sigma_2} \end{array}$$

$$y = [D_2 C_1 \ C_2] \begin{bmatrix} x_1 \\ x_2 \end{bmatrix}$$

Se effugiamo l'impresa e l'usato z



$$\sum_{\text{ret}} \left\{ \begin{bmatrix} \dot{x}_1 \\ \dot{x}_2 \end{bmatrix} = \begin{bmatrix} A_1 - B_1 D_2 C_1 & -B_1 C_2 \\ B_2 C_1 & A_2 \end{bmatrix} \begin{bmatrix} x_1 \\ x_2 \end{bmatrix} + \begin{bmatrix} B_1 \\ 0 \end{bmatrix} \begin{bmatrix} r \\ d \end{bmatrix} \right. \\ \left. \begin{bmatrix} z \\ y \end{bmatrix} = \begin{bmatrix} C_1 & 0 \\ D_2 C_1 & C_2 \end{bmatrix} \begin{bmatrix} x_1 \\ x_2 \end{bmatrix} + \begin{bmatrix} 0 \\ 0 \end{bmatrix} \begin{bmatrix} r \\ d \end{bmatrix} \right\}$$

Tesi

Σ_{ret} reg + oss $\Leftrightarrow \Sigma_1, \Sigma_2$ reg + oss

$$W_{\text{ret}}(s) = \begin{bmatrix} W_{xz}(s) & W_{dz}(s) \\ W_{xy}(s) & W_{dy}(s) \end{bmatrix} = \begin{bmatrix} \frac{W_1}{1+W_1W_2} & \frac{-W_1W_2}{1+W_1W_2} \\ \frac{W_1W_2}{1+W_1W_2} & \frac{W_2}{1+W_1W_2} \end{bmatrix}$$

Possiamo concludere che Σ_{ret} è internamente stabile
 $\Leftrightarrow \Sigma_{\text{ret}}$ è esternamente stabile

Per ottenere questa equivalenza abbiamo dovuto effuggire impresa e usato fittizie

Esempio: non vale l'equivalenza se
effetti di ingenti sono fitto

$$\Sigma_1 = \begin{cases} \dot{x}_1 = x_1 + u_1 \\ y_1 = x_1 \end{cases} \quad w_1 = \frac{1}{s+1}$$

$$\Sigma_2 = \begin{cases} \dot{x}_2 = -x_2 + u_2 \\ y_2 = -2x_2 + u_2 \end{cases} \quad w_2 = \frac{s+1}{s+1}$$

$$\Sigma = \begin{cases} \begin{bmatrix} \dot{x}_1 \\ \dot{x}_2 \end{bmatrix} = \begin{bmatrix} 1 & 1 \\ 0 & 1 \end{bmatrix} \begin{bmatrix} x_1 \\ x_2 \end{bmatrix} + \begin{bmatrix} 1 \\ 0 \end{bmatrix} \\ y = [1 \ 1 \ -2] \begin{bmatrix} x_1 \\ x_2 \end{bmatrix} \end{cases}$$

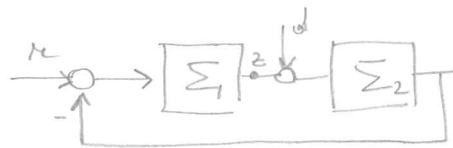
$$W_{xy}(s) = \frac{w_1 w_2}{1 + w_1 w_2} = \frac{\frac{1}{s+1}}{1 + \frac{1}{s+1}} = \frac{1}{s+2} \quad \begin{array}{l} \text{esternamente} \\ \text{stabile} \end{array}$$

$$A = \begin{bmatrix} 0 & 1 \\ 1 & -1 \end{bmatrix} \quad \Delta_A(s) = s(s+1) - 2 = s^2 + s - 2$$

per riferi gli Cartens $\Delta_A(s)$
ha una radice a parte reale positiva
 \Rightarrow instabile \Rightarrow internamente instabile

Ora la incongruenza è obietta e cancellare i poli/zeri
instabili

DIMOSTRAZIONE TEOREMA



Teor

$$\sum_{\text{ret}} \text{reff} + \text{oss} \iff \sum_1, \sum_2 \text{reff} + \text{oss}$$

Dimo

Studiamo sol le raffigurazioni date da l'esenzuolto
di dimostrare in maniera analogia.

Si consideri il PB H test per Σ_{ret}

$$\left[\begin{array}{c|cc|cc} \text{SI} - A_1 + B_1 D_2 C_1 & B_1 C_2 & B_1 & -B_1 D_2 \\ \hline -B_2 C_1 & \text{SI} - A_2 & 0 & B_2 \end{array} \right]$$

Per valutare se questa matrice è regolare si pone
prima valutare se esiste una combinazione non
banale delle righe che dà la riga nulla

$$[v^T \ w^T] \left[\begin{array}{cccc} \text{SI} - A_1 + B_1 D_2 C_1 & B_1 C_2 & B_1 & -B_1 D_2 \\ -B_2 C_1 & \text{SI} - A_2 & 0 & B_2 \end{array} \right] = 0$$

$$\left\{ \begin{array}{l} v^T B_1 = 0 \\ -v^T B_1 + w^T B_2 = 0 \quad \Rightarrow \quad w^T B_2 = 0 \\ v^T (\text{SI} - A_1 + B_1 D_2 C_1) = w^T B_2 C_1 = 0 \\ v^T B_1 C_2 + w^T (\text{SI} - A_2) = 0 \end{array} \right.$$

Stimando il fatto che $v^T B_1 = 0$ e $w^T B_2 = 0$

$$\left\{ \begin{array}{l} v^T B_1 = 0 \\ w^T B_2 = 0 \\ v^T (\text{SI} - A_1) = 0 \\ w^T (\text{SI} - A_2) = 0 \end{array} \right.$$

$$\left\{ \begin{array}{l} v^T [\text{SI} - A_1 | B_1] = 0 \\ w^T [\text{SI} - A_2 | B_2] = 0 \end{array} \right.$$

Ora $\sum_1, \sum_2 \text{reff} \Rightarrow v^T = 0 \ w^T = 0$ (P)
e quindi la precedente matrice lo risponde meno.

CONTROLLO FEEDFORWARD

Supponiamo di avere un sistema con funzione di trasferimento $G(s)$ che vogliamo controllare in modo tale che dal riferimento $R(t)$ all'uscita $y(t)$ lo scostamento del prodotto (umano) non lo più vicino fornibile al prodotto (umano) stesso.



In linea di massima pensiamo usare lo schema



$$\text{Se } Q(s) = \frac{1}{G(s)} \\ \text{allora } y(t) = u(t)$$

con $Q(s) = \frac{1}{G(s)}$. Questo è il principio del controllo feed forward. Questo soluzione presenta dei problemi

[1] Implementabilità : $Q(s) = \frac{1}{G(s)}$ può non essere funzione stabile
 [Q(s) propria]

Esempio : $G(s) = \frac{k}{1+\tau s} \Rightarrow Q(s) = \frac{1}{k} (1+\tau s)$ non implementabile

In tal caso si può trovare come soluzione

$$Q(s) = \frac{1}{k} \frac{1+\tau s}{1+\lambda s} \quad \text{che porta} \quad F(s) = Q(s)G(s) = \frac{1}{1+\lambda s}$$

Se $u(t) = R$ prodotto

$$y(t) = R(1 - e^{-t/\lambda}) \quad y(\infty) = R$$

$$u(t) = \frac{R}{K} \left[1 - \left(1 - \frac{\tau}{\lambda} \right) e^{-t/\lambda} \right]$$

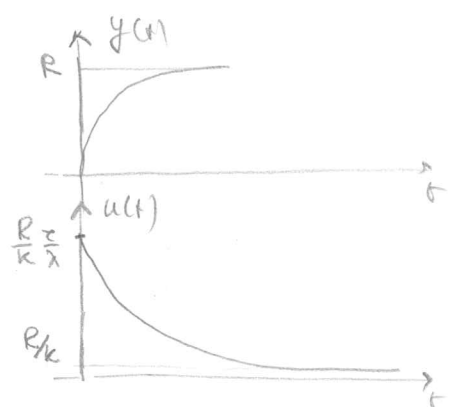
Note le

$$u(\infty) = \frac{R}{K} \quad u(0+) = \frac{R}{K} \frac{\tau}{\lambda}$$

Anche se avere λ piccolo ($y(t)$ vicino al prodotto isolato)

si lo misogna su un livello di impresa molto elevata

$$\text{Se } |u(t)| \leq u_{\max} \quad T_{\min} = \frac{R \tau}{K u_{\max}}$$



Ondi' la soluzone per avere $Q(s)$ pura è cercare di ottenere $F(s)$ non costante con un certo peso relativo

$Q(s)$ stabile

Esempio $G(s) = \frac{k(1-\beta s)}{(1+\tau_1 s)(1+\tau_2 s)}$

$$Q(s) = \frac{F(s)}{G(s)} = \frac{F(s)}{\frac{k(1-\beta s)}{(1+\tau_1 s)(1+\tau_2 s)}} = \frac{(1+\tau_1 s)(1+\tau_2 s)}{1-\beta s}$$

$$\frac{F(s)}{1+4s}$$

è instabile

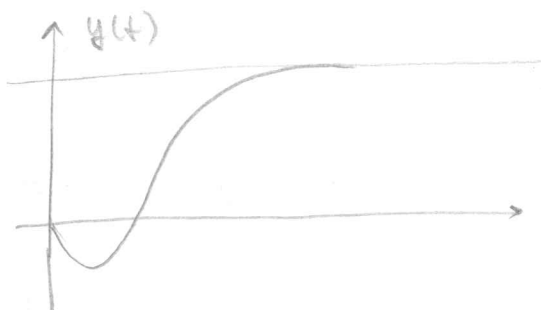
In questi caso conviene fare

$$F(s) = \frac{1-\beta s}{(1+\lambda s)^2}$$

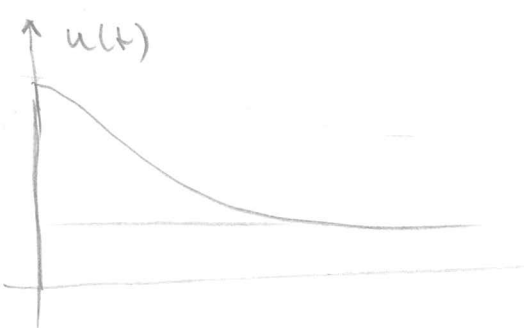
da cui segue che

$$Q(s) = \frac{F(s)}{G(s)} = \frac{1}{k} \frac{(1+\tau_1 s)(1+\tau_2 s)}{(1+\lambda s)^2}$$

Se $\lambda(t) \in \mathbb{R}$ pura



fase non minima



$$Y(s) = \frac{1-\beta s}{(1+\lambda s)^2} R(s)$$

$$U(s) = \frac{1}{k} \frac{(1+\tau_1 s)(1+\tau_2 s)}{(1+\lambda s)^2} R(s)$$

$$U(0^+) = \lim_{s \rightarrow \infty} s U(s) = \frac{R}{k} \frac{\tau_1 \tau_2}{\lambda^2}$$

$G(s)$ contiene ritardi

Esempio Se $G(s) = \frac{k}{1+cs} e^{-Ts}$ e $F(s) = \frac{1}{1+As}$

Allora otteniamo $Q(s) = \frac{1}{K} \frac{1+Ts}{1+As} e^{-Ts}$ non realistabile

In questi casi conviene fare

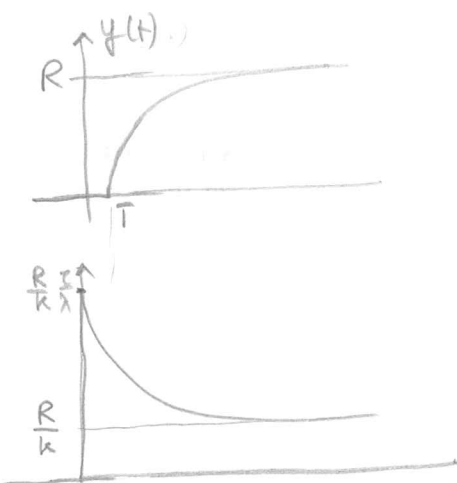
$$F(s) = \frac{1}{1+As} e^{-Ts}$$

che permette se $r(t) = R$

$$Q(s) = \frac{1}{K} \frac{1+Ts}{1+As}$$

$$y(t) = R(1 - e^{-\frac{t-T}{\lambda}})$$

$$u(t) = \frac{R}{K} \left[1 - \left(1 - \frac{c}{\lambda}\right) e^{-\frac{t-T}{\lambda}} \right]$$



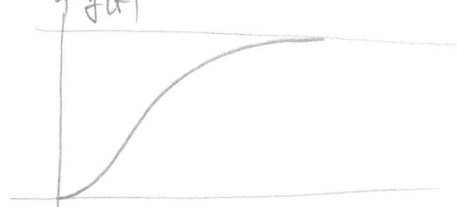
2) Esempi di modelli nonane e disturbi

Esempio

$G(s) = \frac{k}{1+cs}$ vers $\hat{G}(s) = \frac{\hat{k}}{1+\hat{c}s}$ funzione di trasferimento stimata (nominali)

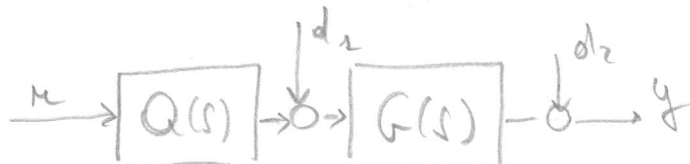
$$F(s) = \frac{1}{1+As} \rightarrow Q(s) = \frac{F(s)}{\hat{G}(s)} = \frac{1}{\hat{k}} \frac{1+\hat{c}s}{1+As}$$

$$Y(s) = Q(s) G(s) = \frac{k}{\hat{k}} \frac{1+cs}{(1+cs)(1+As)}$$



Se abbiamo un disturbo

$$\hat{G}(s) = G(s)$$



$$Y(s) = Q(s) G(s) R(s) + G(s) D_1(s) + D_2(s)$$

Il controller feed-forward non corregge i disturbi non misurati (3)

In generale nel controls feed forward conviene procedere nel modo seguente.

Si decomponga

$$G(s) = G^+(s) G^-(s)$$

dove $G^+(s)$ è tale che $G^+(s) = 1$ e contiene gli eventuali ritardi e zeri instabili (e poli instabili)

$G^-(s)$ contiene solo gli zeri stabili (e i poli stabili) di $G(s)$ e sarà tale che $G^-(s) = G(s)$

Allora si scriverà

$$Q(s) = \frac{1}{G^-(s)} \frac{1}{(1 + \lambda s)^e}$$

dove ℓ è il più piccolo intero che rende $Q(s)$ propria e λ è sufficientemente piccolo

Si noti che

$$F(s) = Q(s) G(s) = \frac{G^+(s)}{(1 + \lambda s)^e}$$

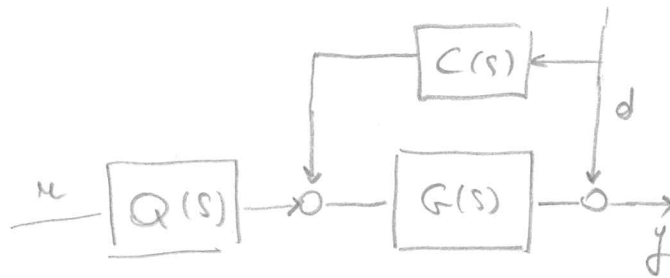
e quindi $F(s) = 1$ da cui segue che il feedback in ingresso viene incrementato per $t \rightarrow \infty$.

$$\text{Moltre si noti che } W_{zu}(s) \cdot Q(s) \Big|_{s=\infty} = \frac{G^+(\infty)}{\lambda^e}$$

Se $G^+(\infty)$ è finito, si vede che tale valore tende a ∞ per $\lambda \rightarrow 0$. Ciò dimostra che per λ troppo piccolo, il controls feed forward tende a richiedere valori di ottimizzazione molto alti.

Se il disturbo è uniforme, allora è possibile compensare l'effetto

Esempio



$$W_{dy}(s) = \frac{1}{1 + G(s)C(s)}$$

$$\text{Ponendo } C(s) = -\frac{1}{G(s)} \quad \text{si ottiene } W_{dy}(s) = 0$$

Ad esempio se $G(s) = \frac{k}{1+s\tau}$ allora $-\frac{1}{G(s)}$ è non realizzabile

conviene prendere

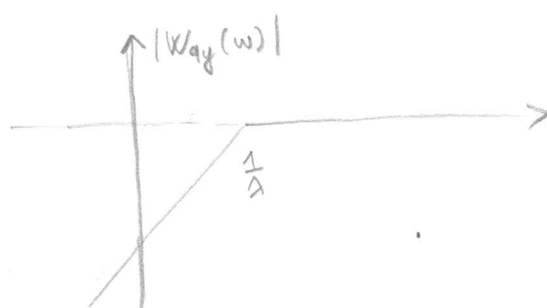
$$C(s) = -\frac{1}{k} \frac{1+s\tau}{1+s\lambda}$$

da cui si ottiene

$$W_{dy}(s) = 1 - \frac{1}{1+s\lambda} = \frac{-s\lambda}{1+s\lambda}$$

Diagramma di Bode

I disturbi con bande di frequenza $< N_A$ sono attenuati



INTERNAL MODEL CONTROL

È uno schema che si unisce al feed forward con un più vero controllore feedback che cerca di ovviare alle misure dei disturbi e dell'incertezza sul modello.

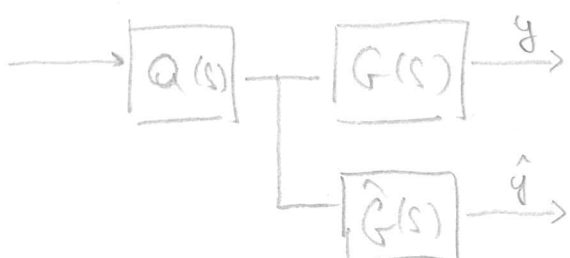


$$\text{Se } Q(s) \approx G(s)^{-1} \Rightarrow y \approx r$$

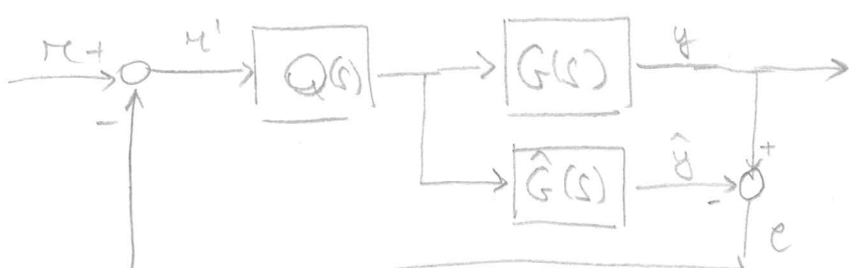
Le distorsioni saranno dovute a disturbi e alla incertezza.

Se $\hat{G}(s)$ lo stima abbastanza bene su $G(s)$ e se le misure di $Q(s)$ no bisognano in $\hat{G}(s)$.

Allora



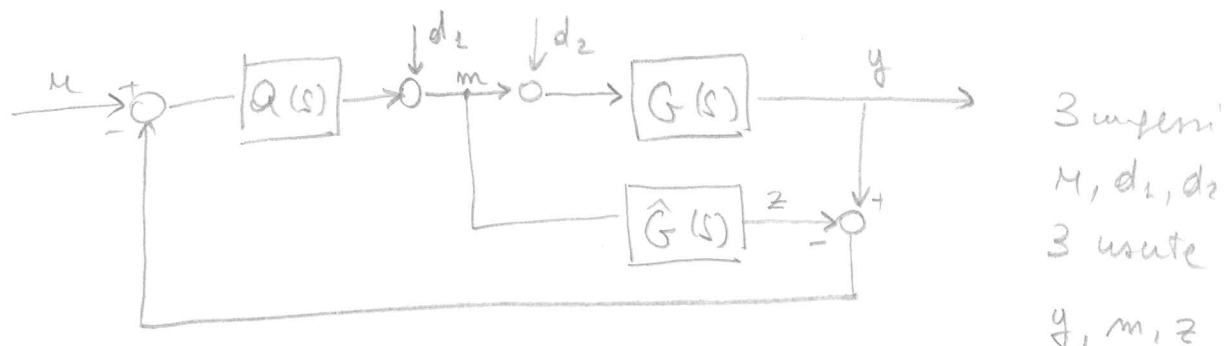
$$\text{Se } \hat{G}(s) \approx G(s) \Rightarrow y \approx \hat{y} \Rightarrow e = y - \hat{y} \approx 0$$



$$\text{Se } e \approx 0 \Rightarrow y \approx r$$

Se $Q(s)$ è bisogno come feed forward su $\hat{G}(s)$, allora $\hat{y} \approx r$ e quindi se $e \approx 0 \rightarrow y \approx r$

Questo è l'intuizione che sta alla base di questo schema detto INTERNAL MODEL CONTROL (IMC). Per fare un'analisi esatta n'avrei calcolato le funzioni di trasferimento, inserendo degli approssimati fissi (o costanti) in modo da avere stabilità interna del sistema



$$y = Gm + Gd_2$$

$$m = d_1 + Qr - Qy + Qz$$

$$z = \hat{G}m$$

$$\begin{bmatrix} y \\ m \\ z \end{bmatrix} = \begin{bmatrix} 0 & G & 0 \\ -Q & 0 & Q \\ 0 & \hat{G} & 0 \end{bmatrix} \begin{bmatrix} y \\ m \\ z \end{bmatrix} + \begin{bmatrix} 0 & 0 & G \\ Q & I & 0 \\ 0 & 0 & 0 \end{bmatrix} \begin{bmatrix} r \\ d_1 \\ d_2 \end{bmatrix}$$

$$\left(I - \begin{bmatrix} 0 & G & 0 \\ -a & 0 & Q \\ 0 & \hat{G} & 0 \end{bmatrix} \right) \begin{bmatrix} y \\ m \\ z \end{bmatrix} = \begin{bmatrix} 0 & 0 & G \\ Q & I & 0 \\ 0 & 0 & 0 \end{bmatrix} \begin{bmatrix} r \\ d_1 \\ d_2 \end{bmatrix}$$

$$\begin{bmatrix} y \\ m \\ z \end{bmatrix} = \begin{bmatrix} I & -G & 0 \\ Q & I & -Q \\ 0 & -\hat{G} & I \end{bmatrix}^{-1} \begin{bmatrix} 0 & 0 & G \\ Q & I & 0 \\ 0 & 0 & 0 \end{bmatrix} \begin{bmatrix} r \\ d_1 \\ d_2 \end{bmatrix}$$

$$\frac{1}{I - Q\hat{G} + QG}$$

$$\begin{bmatrix} y \\ m \\ z \end{bmatrix} = \frac{1}{I - Q\hat{G} + QG} \begin{bmatrix} QG & G & G(I - \hat{G}Q) \\ Q & I & -GQ \\ Q\hat{G} & \hat{G} & -G\hat{G}Q \end{bmatrix} \begin{bmatrix} r \\ d_1 \\ d_2 \end{bmatrix}$$

Per avere stabilità
necessario avere
ovvero
 $I - Q(\hat{G} - G)$
con rei stabili

CASO IDEALE: $\hat{G} = G$ e $d_1 = d_2 = 0$

No incertezza e No disturbi

Allora

$$y = QGm = Q\hat{G}m$$

e quindi se $Q \approx \hat{G}^{-1}$, allora $y \approx m$ (stabilità)

CASO NON IDEALE: $\hat{G} \neq G$ ma $d_1 = d_2 = 0$

Se perness $Q \approx \hat{G}^{-1}$, allora

$$y = \frac{QG}{I - Q\hat{G} + QG} m \approx \frac{QG}{QG} m = m$$

Se $d_1 \neq 0$ (e $r = 0, d_2 = 0$)

$$y = \frac{G}{I - Q\hat{G} + QG} d_1 \approx \frac{G}{QG} d_1 \approx \frac{1}{Q} d_1 \approx \hat{G} d_1$$

come fone in catena aperta

Se $d_2 \neq 0$ (e $r = 0, d_1 = 0$)

$$y = \frac{G(I - \hat{G}Q)}{I - Q\hat{G} + QG} d_2 \approx \frac{GO}{QG} d_2 = \frac{O}{Q} d_2 \approx 0$$

Si vede quindi che disturbi che entrono prima e dopo la dimensione hanno effetti molto diversi

SINTESI DELL' IMC

Come abbiamo visto, nelle sintesi dell'IMC si cerca di ottenere due condizioni:

$$1) \hat{G}(s) \approx G(s)$$

$$2) Q(s) \approx \hat{G}(s)^{-1}$$

La seconda condizione è simile alla condizione che dove essere soddisfatta nel caso della sintesi del controllore feedforward e quindi presenta problemi.

Simili così che $\hat{G}(s)^{-1}$ può non essere propria e potrebbe essere instabile. Per ovviare a questi due problemi si segnano le stesse tecniche usate nel caso della sintesi del controllore feedforward.

$$\text{Si scrive } \hat{G}(s) = \hat{G}^+(s) \hat{G}^-(s)$$

dove $\hat{G}^+(s)$ contiene ritardi, poli e zeri stabili e matrice vuota $\hat{G}^+(s) = 1$. Mentre $\hat{G}^-(s)$ sarà stabile e a base minima e $\hat{G}^-(0) = \hat{G}(0)$.

Allora si ferma

$$Q(s) = \frac{1}{\hat{G}^-(s)} \frac{1}{(1 + \lambda s)^l}$$

dove l è il numero intero che rende $Q(s)$ propria e A è sufficientemente piccolo

Esempio

$$\hat{G}(s) = \frac{\hat{k}}{1+\hat{\tau}s} \quad G(s) = \frac{k}{1+\tau s} \quad \hat{k} \approx k \quad \hat{\tau} \approx \tau$$

$$Q(s) = \frac{1}{k} \frac{1+\hat{\tau}s}{1+\tau s} \quad \text{A piccolo}$$

La matrice di trasferimento è

$$\frac{1}{1 - \frac{1}{1+\tau s} + \frac{k}{\hat{k}} \frac{1+\hat{\tau}s}{1+\tau s} \frac{1}{1+\hat{\tau}s}}$$

$$\left[\begin{array}{ccc|c|c} \frac{k}{\hat{k}} \frac{1+\hat{\tau}s}{1+\tau s} & \frac{1}{1+\hat{\tau}s} & \frac{1}{1+\tau s} & \frac{k}{1+\tau s} & \frac{k}{1+\hat{\tau}s} \frac{\tau s}{1+\tau s} \\ \hline \frac{1}{\hat{k}} \frac{1+\hat{\tau}s}{1+\tau s} & 1 & & -\frac{k}{\hat{k}} \frac{1+\hat{\tau}s}{1+\tau s} \frac{1}{1+\hat{\tau}s} & \\ \hline & \frac{1}{1+\tau s} & \frac{\hat{k}}{1+\tau s} & -\frac{k}{1+\tau s} \frac{1}{1+\tau s} & \end{array} \right]$$

$$W_{xy}(s) = \frac{\frac{k}{\hat{k}} \frac{1+\hat{\tau}s}{1+\tau s} \frac{1}{1+\tau s}}{1 + \frac{1}{1+\tau s} \left[\frac{k}{\hat{k}} \frac{1+\hat{\tau}s}{1+\tau s} - 1 \right]} = \frac{\frac{k}{\hat{k}} \frac{1+\hat{\tau}s}{1+\tau s}}{\tau s + \frac{k}{\hat{k}} \frac{1+\hat{\tau}s}{1+\tau s}}$$

$$= \frac{1}{1 + \frac{1}{\tau s} \left[\frac{\hat{k}(1+\tau s)}{\hat{k}(1+\tau s)} - \frac{(s+\hat{\tau})}{(s+\hat{\tau})} \right]} = \frac{k(1+\hat{\tau}s)}{k(1+\hat{\tau}s) + \hat{k}(1+\tau s)\tau s}$$

Noto che $W_{xy}(\infty) = 1$

Inoltre se λ è piccolo allora $W_{xy}(s) \approx 1$

$$W_{zm}(s) = \frac{\frac{1}{\hat{k}} \frac{1+\hat{\tau}s}{1+\tau s}}{1 - \frac{1}{1+\tau s} + \frac{k}{\hat{k}} \frac{1+\hat{\tau}s}{1+\tau s} \frac{1}{1+\hat{\tau}s}}$$

Si noti che $W_{zm}(\infty) = \frac{1}{\hat{k}} \frac{\hat{\tau}}{\lambda}$ e quindi

$$W_{zm}(\infty) \rightarrow +\infty \quad \text{se } \lambda \rightarrow 0$$

Ciò implica che, come per il circuito feed forward, se λ è troppo piccolo, il segnale di otturazione $m(0^+)$ tende ad essere molto grande nello spazio di produzione.

Esempio

$$\text{Sia } G(s) = \frac{K}{1+Ts} e^{-ST} \quad e \quad \hat{G}(s) = \frac{K}{1+Ts} e^{-ST}$$

Poniamo

$$Q(s) = \frac{1}{K} \frac{1+Ts}{1+As}$$

$$W_{xy}(s) = \frac{1}{1+As} e^{-ST}$$

esattamente identico
a quanto ottenuto col controller
feed forward.

Si noti che in certi casi il retardo non è
realizzabile fisicamente (lo è nelle implementazioni
digitali) e allora nello svincolo di $\hat{G}(s)$ si
sostituisce e^{-ST} con una sua approssimazione,
detta approssimazione di Padé

$$e^{-TS} \approx \frac{1 - TS/2}{1 + TS/2} \quad . \quad e^{-TS} \approx \frac{1 - TS/2 + T^2 S^2 / 12}{1 + TS/2 - T^2 S^2 / 12}$$

Per vedere come si ottengono queste approssimazioni
si vede le seguenti esempi

Esempio vogliamo approssimare e^{-TS} con $\frac{b_0 + b_1 s}{1 + a_1 s}$

$$\frac{b_0 + b_1 s}{1 + a_1 s} \approx e^{-TS} = 1 - TS + \frac{T^2 s^2}{2} - \frac{T^3 s^3}{3!} + \dots$$

$$b_0 + b_1 s \approx (1 + a_1 s) \left(1 - TS + \frac{T^2 s^2}{2} - \dots \right)$$

Cerco di egualare i primi termini combinando
frazioni vere: $b_0 = 1$

fraz. una: $b_1 = a_1 - T$

fraz. due: $0 = -Ta_1 + T^2/2 \Rightarrow a_1 = T/2 \Rightarrow b_1 = -T/2$